

بهبود نسبی کاهش اribi در برآورده چگالی با استفاده از هسته برونیابی شده هندسی

رضا صالحی^{*}، علی شادرخ، مسعود یارمحمدی؛
دانشگاه پیام نور، گروه آمار، تهران

دریافت ۹۶/۱۱/۲۸ پذیرش ۹۶/۰۵/۳۰

چکیده

یکی از روش‌های ناپارامتری برآورد چگالی احتمال روش هسته‌ای است. در این مقاله، به‌منظور کاهش اribi برآورد چگالی هسته‌ای، روش‌هایی مانند هسته متداول، هسته متداول برونیابی شده هندسی، هسته کاهش اribi و هسته کاهش اribi برونیابی شده هندسی معرفی و مورد بحث و بررسی قرار می‌گیرد. همچنین خواص نظری از جمله نحوه انتخاب پارامتر همواری و میزان دقیق برآوردهای حاصل بررسی می‌شود. هرگاه هسته‌ها متقارن باشند، میانگین انتگرال مربعات خطای روش هسته‌ای کاهش اribi برونیابی شده هندسی نسبت به سایر روش‌ها به نرخ همگرایی سریع‌تری دست می‌یابد. به‌منظور بررسی عملکرد این برآوردهای، بررسی شبیه‌سازی مونت‌کارلو انجام شده است. همچنین نتایج به‌دست آمده به‌کمک تحلیل داده‌های واقعی نشان داده شده است. نتایج نشان می‌دهند که میزان اribi در روش‌های هسته‌ای کاهش اribi و هسته‌ای کاهش اribi برونیابی شده هندسی به‌طور چشم‌گیری کاهش می‌یابد.

واژه‌های کلیدی: اribi، برآورد چگالی، برونیابی هندسی، پارامتر همواری، هسته متقارن.

رده‌بندی ریاضی (۲۰۱۰): ۶۲G۰۷، ۶۲G۰۵.

۱. مقدمه

یکی از تکنیک‌های برآورد چگالی، برآورد چگالی هسته‌ای است [1]. پژوهش‌های نظری این روش و کاربردهای آن به‌کمک رایانه‌ها برای پردازش داده‌ها، انقلابی در برآورد چگالی احتمال به وجود آورده است [2]. سیلورمن [3]، هاردل [4] و بسیاری دیگر از افراد این روش را بسط داده و آن را به ابعاد بالاتر تعمیم داده‌اند. از آن‌جاکه برآورد چگالی هسته‌ای با نمونه‌های کوچک نیز برآورد خوبی ارائه می‌کند از این رو، دارای کاربردهای گوناگونی در زمینه‌های بانکداری [5]، اقلیم‌شناسی [6]، گراف‌های رایانه‌ای [7] اقتصاد [8]، جغرافیا [9]، آب‌شناسی [10]، پردازش تصاویر [11]، علوم اعصاب [12]، نظارت [13]، باستان‌شناسی [14]، پزشکی [15] و غیره است. تکنیک برآورد چگالی هسته‌ای در اوخر دهه ۱۹۵۰ برای برآورد چگالی بافت‌نگار به عنوان نمایش گرافی یک توزیع فراوانی بیان شد. سیلورمن [1] و پارزن [16] این روش را بیان و توسعه دادند. فارل [17] بهترین نرخ همگرایی مجانبی ($O(n^{2r+1})$) را به‌کمک میانگین مربعات خطای مربعات خطای مربعات خطای (MSE) برای برآوردهای هسته‌ای متعدد به‌دست آورد. سامیودین و ال‌سید [18]

هسته‌هایی را که باعث کاهش اربیی می‌شوند معرفی کردند. ال‌سید و همکاران [19] برآورده‌گری با استفاده از بعضی شناسه‌های احتمالاتی برای کاهش اربیی پیشنهاد دادند. مارون و روپرت [20] الگوریتمی مناسب برای چندجمله‌ای‌های درجه دوم وتابع توزیع تجمعی بتا در کاهش اربیی مرزی پیشنهاد کردند. کیم و همکاران [21] یک روش چاوله برای کاهش اربیی توسعه دادند که واریانس تنها از طریق فاکتور ثابت مناسب افزایش می‌یافتد. مانف و مارتینز-فیلو [22] روی اربیی کاهش یافته نسبی هسته در برآورده‌گر هسته کلاسیک از طریق شرط لایپشیتز کار کردند. این روش به طور طبیعی انتخاب سازوار پارامترهای هموارسازی را رهبری کرده و می‌تواند باعث کاهش اربیی شود. کایرات و همکاران [23] بهبودی اربیی را با هسته‌های اپانچنیکوف و گرام-شارلیه در برآورد چگالی هسته‌ای بررسی کردند. کیم و کیم [24] یک نسخه از برآورده‌گر چگالی هسته‌ای که MSE را کاهش می‌داد ارائه کردند. آن‌ها نشان دادند که کاهش MSE ناشی از کاهش اربیی است نه واریانس. ایگاراشی و کاکیزاوا [25] برآورده‌گر هسته‌ای متقارن با تکیه‌گاه $(0, \infty)$ را به کمک تکنیک‌های اصلاح اربیی نامنفی با هسته نرمال استاندارد بررسی کردند و نشان دادند که بهترین میانگین انتگرال مربعات خطابا $O(n^{-\frac{8}{9}})$ رخ می‌دهد. شارون و جینگ [26] رویکرد جدیدی برای کاهش اربیی برآورده‌گر چگالی هسته‌ای ارائه کردند.

چنان‌چه از پژوهش‌های مذکور پیداست در دهه‌های گذشته کوشش بسیاری شده که برآورد چگالی احتمال با دقت بالاتری ارائه شود. از این‌رو، در این مقاله به کاهش اربیی برآورده‌گرهای هسته‌ای متقارن با استفاده از برونویابی هندسی می‌پردازیم. در بخش ۲، برآورده‌گر هسته‌ای متداول را معرفی می‌شود در بخش ۳، برآورده‌گر هسته‌ای کاهش اربیی بررسی می‌شود. در بخش ۴، روش برونویابی هندسی برای کاهش اربیی را بررسی می‌کنیم. روش‌های شبیه‌سازی در بخش ۵، را ارائه کرده، نتایج را به کمک هسته نرمال استاندارد بررسی و مقایسه می‌کنیم. در بخش ۶، سه مثال عددی از داده‌های واقعی را بررسی کرده و سرانجام خلاصه نتایج را در بخش ۷، بیان می‌شود.

۲. برآورده‌گر هسته‌ای متداول

فرض کنید X_1, X_2, \dots, X_n یک نمونه تصادفی n تایی از یک توزیع با تابع چگالی احتمال مجھول f باشد. برآورده‌گر چگالی هسته‌ای متداول¹ (UK) در نقطه x را با \hat{f} نشان داده و بدین صورت تعریف می‌شود:

$$\hat{f}_h(x) = \frac{1}{n} \sum_{i=1}^n K_h(x - X_i) = \frac{1}{nh} \sum_{i=1}^n K\left(\frac{x - X_i}{h}\right) \quad (1)$$

که در آن h یک عدد حقیقی مثبت، پهنانی پنجره یا پارامتر همواری نامیده می‌شود و درجه‌ای از همواری را کنترل می‌کند و $K_h(x) = \frac{1}{h} K\left(\frac{x}{h}\right)$ تابع هسته‌ای نامیده می‌شود. تابع چگالی نامعلوم f ، تابع هسته K و پارامتر همواری h معمولاً در این روابط صدق می‌کنند:

$$\begin{aligned} a1) \quad & \int_{-\infty}^{\infty} K(x) dx = 1 \\ a2) \quad & \sup_{-\infty < x < \infty} |K(x)| < \infty \\ a3) \quad & \lim_{x \rightarrow \infty} |xK(x)| = 0 \end{aligned}$$

- a4) $K(x) = K(-x)$
 a5) $h \rightarrow 0, nh \rightarrow \infty \text{ if } n \rightarrow \infty$
 a6) $\|f''\|_2^2 = \int_{-\infty}^{\infty} f''^2(x) dx < \infty$
 a7) $\|K\|_2^2 = \int_{-\infty}^{\infty} K^2(x) dx < \infty$
 a8) $\int_{-\infty}^{\infty} x K(x) dx = 0$
 a9) $\mu_2(K) = \int_{-\infty}^{\infty} x^2 K(x) dx < \infty$

پارزن [۱۶] نشان داد تحت شرایط a1 تا a5 برآوردهای \hat{f}_h سازگار در میانگین درجه دو است. چنان‌که ملاحظه می‌شود برآوردهای هسته‌ای (۱) به پارامتر همواری h بستگی دارد. اگر مقدار h خیلی کوچک اختیار شود برآوردهای \hat{f}_h بسیار مواعظ خواهد بود. از این‌رو، لازم است روشی مناسب برای تعیین مقدار بهینه h ارائه شود. فرض کنید تابع چگالی نامعلوم f و تابع هسته K در شرایط a6 تا a9 صدق کنند و همچنین " f در همسایگی x مطلقاً پیوسته باشد. بر اساس سیلورمن [۳] و واند و جونس [۲۷] داریم:

$$Bias(\hat{f}_h(x)) = E(\hat{f}_h(x)) - f(x) = \frac{1}{2} h^2 f''(x) \int y^2 K(y) dy + O(h^3) \quad (۲)$$

۶

$$Var(\hat{f}_h(x)) = E(\hat{f}_h(x) - E(\hat{f}_h(x)))^2 = \frac{1}{nh} f(x) \int K^2(y) dy + O((nh)^{-1}) \quad (۳)$$

بنابراین از (۲) و (۳) نتیجه می‌گیریم که:

$$\begin{aligned} MSE(\hat{f}_h(x)) &= Bias^2(\hat{f}_h(x)) + var(\hat{f}_h(x)) \\ &\sim \frac{h^4}{4} (f''(x))^2 \left(\int y^2 K(y) dy \right)^2 + \frac{1}{nh} f(x) \int K^2(y) dy + O\left(\frac{1}{n} + h^5\right). \\ h_{opt} &= O(n^{-\frac{1}{5}}) \text{ با } O\left(n^{-\frac{4}{5}}\right) \text{ در نتیجه } MSE \text{ بهینه از مرتبه } \end{aligned}$$

۳. برآوردهای هسته‌ای کاهش اریبی

به‌منظور کاهش اریبی برآوردهای چگالی هسته‌ای متداول UK ، برآوردهای چگالی هسته‌ای متداول با پارامتر همواری ah در نظر بگیرید:

$$\hat{f}_{ah}(x) = \frac{1}{anh} \sum_{i=1}^n K\left(\frac{x-X_i}{ah}\right), \quad a > 0$$

تحت شرایط a1 تا a5 داریم:

$$\begin{aligned} Bias(\hat{f}_{ah}(x)) &= E(\hat{f}_{ah}(x)) - f(x) = ah f'(x) \int x K(x) dx + \frac{(ah)^2}{2!} f''(x) \int x^2 K(x) dx \\ &\quad + \frac{(ah)^3}{3!} f'''(x) \int x^3 K(x) dx + O(h^4). \end{aligned}$$

با کم کردن مقدار برآوردهای اریبی از برآوردهای هسته‌ای متداول داریم:

$$\begin{aligned}\tilde{f}_{ah}(x) &= \hat{f}_{ah}(x) - Bias(\hat{f}_{ah}(x)) \\ &= \frac{1}{anh} \sum_{i=1}^n K\left(\frac{x-X_i}{ah}\right) - ah f'(x) \int x K(x) dx - \frac{(ah)^2}{2!} f''(x) \int x^2 K(x) dx \\ &\quad - \frac{(ah)^3}{3!} f'''(x) \int x^3 K(x) dx + O(h^4).\end{aligned}$$

اگر هسته K متقارن و تمام گشتاورهای فرد آن صفر باشد آن‌گاه برآوردهای پیشنهادی هسته‌ای کاهش اربی^۱ (BRK) در نقطه x را با \tilde{f} نشان داده و به صورت زیر خواهد بود:

$$\begin{aligned}\tilde{f}_{ah}(x) &= \frac{1}{anh} \sum_{i=1}^n K\left(\frac{x-X_i}{ah}\right) - \frac{(ah)^2}{2!} f''(x) \int x^2 K(x) dx \\ &= \frac{1}{anh} \sum_{i=1}^n K\left(\frac{x-X_i}{ah}\right) - \frac{ah}{2n} \int x^2 K(x) dx \sum_{i=1}^n K''\left(\frac{x-X_i}{h}\right).\end{aligned}\quad (4)$$

برای بررسی این که این برآوردهای جدید از نظر ساختاری قادر به کاهش اربی و در نتیجه کاهش MSE هست یا خیر، اربی و واریانس آن را محاسبه می‌کنیم.

قضیه ۱. فرض کنید هسته K متقارن و تمام گشتاورهای فرد آن صفر باشند و f در همسایگی x دارای مشتق مرتبه چهار باشد. همچنین فرض کنید شرایط $a4$, $a5$ و $a8$ برقرار باشند. بنابراین داریم:

$$Bias(\tilde{f}_{ah}(x)) = -\frac{(ah)^4}{2!2!} f'''(x) \left[\int x^2 K(x) dx \right]^2 + O(h^4)$$

۶

$$\begin{aligned}Var(\tilde{f}_{ah}(x)) &= \frac{f(x)}{2anh} \left[\int x^2 K(x) dx \right]^2 \int (K'')^2(x) dx + O(n^{-1}) \\ &\quad \text{و در نتیجه } MSE \text{ بهینه از مرتبه } n^{-\frac{8}{9}} \text{ است.}\end{aligned}$$

اینها با استفاده از بسط تیلور $f(x+hs)$ حول x داریم:

$$\begin{aligned}E\tilde{f}_{ah}(x) &= E\hat{f}_{ah}(x) - \frac{(ah)^2}{2!} E(\hat{f}_{ah}'(x)) \int x^2 K(x) dx \\ &= f(x) + \frac{(ah)^2}{2!} f''(x) \int x^2 K(x) dx + O(h^4) - \frac{(ah)^2}{2!} E(\hat{f}_{ah}'(x)) \int x^2 K(x) dx\end{aligned}$$

که

$$\begin{aligned}E(\hat{f}_{ah}'(x)) &= E\left[\frac{1}{anh(ah)^2} \sum_{i=1}^n K''\left(\frac{x-X_i}{ah}\right)\right] \\ &= \frac{1}{(ah)^3} \int K''\left(\frac{x-t}{ah}\right) f(t) dt \\ &= \frac{1}{ah} \int K\left(\frac{x-t}{ah}\right) f''(t) dt = \int K(s) f''(x-ahs) ds \\ &= \int K(s) \left[f''(x) - ahs f''(x) + \frac{(ahs)^2}{2!} f'''(x) - \frac{(ahs)^3}{3!} f''''(x) \right] ds + O(h^4)\end{aligned}$$

$$= f''(x) + \frac{(ah)^2}{2} f'''(x) \int s^2 K(s) ds + O(h^4).$$

بنابراین داریم:

$$\begin{aligned} E\tilde{f}_{ah}(x) &= f(x) + \frac{(ah)^2}{2!} f''(x) \int x^2 K(x) dx + O(h^4) \\ &\quad - \frac{(ah)^2}{2!} \int x^2 K(x) dx \left[f''(x) + \frac{(ah)^2}{2!} f'''(x) \int s^2 K(s) ds \right] + O(h^4) \\ &= f(x) - \frac{(ah)^2 (ah)^2}{2! 2!} f'''(x) \left[\int s^2 K(s) ds \right]^2 + O(h^4). \end{aligned}$$

در نتیجه میزان اریبی برابر است با:

$$Bias(\tilde{f}_{ah}(x)) = -\frac{(ah)^4}{2! 2!} f'''(x) \left[\int s^2 K(s) ds \right]^2 + O(h^4).$$

از طرف دیگر واریانس برآورده چگالی برابر است با

$$\begin{aligned} Var(\tilde{f}_{ah}(x)) &= Var \left[\hat{f}_{ah}(x) - \frac{(ah)^2}{2!} \hat{f}_{ah}''(x) \int s^2 K(s) ds \right] \\ &\leq 2Var(\hat{f}_{ah}(x)) + 2Var \left(\frac{(ah)^2}{2!} \hat{f}_{ah}''(x) \int s^2 K(s) ds \right) \quad (5) \\ &= 2Var(\hat{f}_{ah}(x)) + \frac{(ah)^4}{2} \left(\int s^2 K(s) ds \right)^2 Var(\hat{f}_{ah}''(x)) \end{aligned}$$

که

$$\begin{aligned} Var(\hat{f}_{ah}''(x)) &= Var \left[\frac{1}{n(ah)^3} \sum_{i=1}^n K'' \left(\frac{x - X_i}{ah} \right) \right] \\ &= \frac{1}{n(ah)^6} Var \left(K'' \left(\frac{x - X_1}{ah} \right) \right) \\ &= \frac{1}{n(ah)^6} \left\{ \int \left(K'' \left(\frac{x-t}{ah} \right) \right)^2 f(t) dt - \left[\int K'' \left(\frac{x-t}{ah} \right) f(t) dt \right]^2 \right\} \quad (6) \\ &= \frac{1}{n(ah)^5} \int (K''(s))^2 f(x - ahs) ds - \frac{1}{n} (f''(x) + O(h^2))^2 \\ &= \frac{1}{n(ah)^5} \int (K''(s))^2 (f(x) - ahsf'(x) + O(h^2)) ds - \frac{1}{n} (f''(x))^2 + O(\frac{h^2}{n}) \\ &= \frac{f(x)}{n(ah)^5} \int (K''(s))^2 ds + O(\frac{1}{nh^4}). \end{aligned}$$

با جایگذاری (6) در (5) داریم:

$$\begin{aligned} \text{Var}(\tilde{f}_{ah}(x)) &\leq 2\left(\frac{f(x)}{nah}\int K^2(s)ds + O\left(\frac{1}{nh^4}\right)\right) + \\ &\quad \frac{(ah)^4}{2}\left[\int s^2K(s)ds\right]^2\frac{f(x)}{n(ah)^5}\int(K'')^2(s)ds + O\left(\frac{1}{nh^4}\right) \\ &= \frac{f(x)}{2anh}\left[\int s^2K(s)ds\right]^2\int(K''(s))^2ds + O\left(\frac{1}{n}\right). \end{aligned}$$

بنابراین به سادگی می‌توان دید که پارامتر همواری برابر $h = O(n^{\frac{-1}{9}})$ است. همچنین MSE بهینه از مرتبه $O(n^{\frac{-8}{9}})$ خواهد بود، از این‌رو، اثبات کامل است.

تذکر ۱.۳. برآورده‌گر BRK در رابطه (۴) ممکن است در بعضی نقاط مرزی x منفی باشد از این‌رو، برای این‌که برآورده‌گر چگالی مثبتی داشته باشیم، آن را به صورت (۷) باز تعریف می‌کیم:

$$\tilde{\tilde{f}}_{ah}(x) = \frac{\tilde{f}_{ah}(x)I_{(\tilde{f}_{ah}(x)>0)}}{\int \tilde{f}_{ah}(x)I_{(\tilde{f}_{ah}(x)>0)}dx} \quad (7)$$

که در آن I_A تابع نشان‌گر روی مجموعه A و $\tilde{\tilde{f}}$ برآورده‌گر BEK باز تعریف شده است.

۴. برآورده‌گر هسته‌ای کاهاش اریبی برونيابی هندسی

برونیابی هندسی برای برآورده‌گر چگالی هسته‌ای را ترل و اسکات معرفی کردند [28]. برآورده‌گر چگالی هسته‌ای متداول با دو پارامتر همواری مختلف h و $2h$ را در نظر بگیرید:

$$\hat{f}_h(x) = \frac{1}{nh} \sum_{i=1}^n K\left(\frac{x-X_i}{h}\right)$$

۹

$$\hat{f}_{2h}(x) = \frac{1}{2nh} \sum_{i=1}^n K\left(\frac{x-X_i}{2h}\right).$$

فرض کنید هسته K متقارن و تمام گشتاورهای فرد آن صفر باشند. ترل و اسکات [28] برآورده‌گر هسته‌ای متداول برونيابی هندسی^۱ (GEUK) در نقطه x را با f^* نشان داده و بدین‌صورت پیشنهاد دادند:

$$f_h^*(x) = \left(\hat{f}_h(x)\right)^{\frac{4}{3}} \left(\hat{f}_{2h}(x)\right)^{\frac{-1}{3}}. \quad (8)$$

توجه کنید که انتگرال برآورده‌گر $f_h^*(x)$ برابر یک نمی‌شود. ترل و اسکات [28] مقدار MSE بهینه از مرتبه $O(n^{\frac{-8}{9}})$ و پارامتر همواری برابر $h_{opt} = O(n^{\frac{-1}{9}})$ به دست آوردند.

حال برآورده‌گر چگالی هسته‌ای متداول با دو پارامتر همواری مختلف h و ah را در نظر بگیرید. بنابراین با کم کردن اریبی برآورده‌گر هسته‌ای متداول از آن داریم:

$$\tilde{f}_h(x) = \hat{f}_h(x) - \text{Bias}(\hat{f}_h(x)) = \frac{1}{nh} \sum_{i=1}^n K\left(\frac{x-X_i}{h}\right) - \frac{h^2}{2!} f''(x) \int s^2 K(s) ds$$

۹

1. Geometric Extrapolation Usual Kernel

$$\tilde{f}_{ah}(x) = \hat{f}_{ah}(x) - Bias(\hat{f}_{ah}(x)) = \frac{1}{anh} \sum_{i=1}^n K\left(\frac{x-X_i}{ah}\right) - \frac{(ah)^2}{2!} f''(x) \int s^2 K(s) ds.$$

فرض کنید $I_h(x) = E(\tilde{f}_h(x))$ باشد. بنابراین برای هسته‌های متقارن K که تمام گشتاورهای فرد آن صفر باشند داریم:

$$\begin{aligned} I_h(x) &= f(x) - \frac{h^4}{2!2!} f'''(x) \left(\int s^2 K(s) ds \right)^2 + O(h^4) \\ &= f(x) \left[1 - \frac{h^4}{f(x)2!2!} f'''(x) \left(\int s^2 K(s) ds \right)^2 \right] + O(h^4). \end{aligned}$$

حال با لگاریتم‌گیری از رابطه مذکور داریم:

$$\log(I_h(x)) = \log(f(x)) + \log \left[1 - \frac{h^4}{f(x)2!2!} f'''(x) \left(\int s^2 K(s) ds \right)^2 \right].$$

با استفاده از بسط تیلور $\log(1-x)$ داریم:

$$\begin{aligned} \log(I_h(x)) &= \log(f(x)) - \frac{h^4}{f(x)} \left(\frac{f'''(x)}{2!2!} \left(\int s^2 K(s) ds \right)^2 \right) - \frac{1}{2} \frac{h^8}{f^2(x)} \left(\frac{f'''(x)}{2!2!} \left(\int s^2 K(s) ds \right)^2 \right)^2 \\ &\quad - \frac{1}{3} \frac{h^{12}}{f^3(x)} \left(\frac{f'''(x)}{2!2!} \left(\int s^2 K(s) ds \right)^2 \right)^3 + \dots \\ &= \log(f(x)) - \frac{m}{f(x)} h^4 - \frac{1}{2} \frac{m^2}{f^2(x)} h^8 - \frac{1}{3} \frac{m^3}{f^3(x)} h^{12} + \dots \end{aligned}$$

که

$$m = \frac{f'''(x)}{2!2!} \left(\int s^2 K(s) ds \right)^2.$$

به طور مشابه برای پارامتر ah داریم:

$$\log(I_{ah}(x)) = \log(f(x)) - \frac{m}{f(x)} (ah)^4 - \frac{1}{2} \frac{m^2}{f^2(x)} (ah)^8 - \frac{1}{3} \frac{m^3}{f^3(x)} (ah)^{12} + \dots$$

بنابراین به منظور کاهش اربیی، برآوردهای بروونیابی شده هندسی در نقطه x را با \tilde{f}_h^* نشان داده و بدین صورت پیشنهاد می‌دهیم:

$$\tilde{f}_h^*(x) = (\tilde{f}_h(x))^{w_1} (\tilde{f}_{ah}(x))^{w_2}.$$

حال با لگاریتم‌گیری از برآوردهای بالا داریم:

$$\begin{aligned} \log(\tilde{f}_h^*(x)) &= w_1 \log(\tilde{f}_h(x)) + w_2 \log(\tilde{f}_{ah}(x)) = w_1 \log(I_h(x)) + w_2 \log(I_{ah}(x)) \\ &= w_1 \log(f(x)) - w_1 \frac{m}{f(x)} h^4 - \frac{1}{2} w_1 \frac{m^2}{f^2(x)} h^8 - \frac{1}{3} w_1 \frac{m^3}{f^3(x)} h^{12} + \dots \\ &\quad + w_2 \log(f(x)) - w_2 \frac{m}{f(x)} (ah)^4 - \frac{1}{2} w_2 \frac{m^2}{f^2(x)} (ah)^8 - \frac{1}{3} w_2 \frac{m^3}{f^3(x)} (ah)^{12} + \dots \\ &= (w_1 + w_2) \log(f(x)) - (w_1 + a^4 w_2) \frac{m}{f(x)} h^4 - \frac{1}{2} (w_1 + a^8 w_2) \frac{m^2}{f^2(x)} h^8 + \dots \end{aligned}$$

از این‌رو، برای ارائه برآوردهای مطلوب که قادر به کاهش اربیی باشد لازم است عبارت

$$w_1 \log(I_h(x)) + w_2 \log(I_{ah}(x))$$

بر اساس $(f(x))$ باشد و h^4 حذف شود. بنابراین باید w_1 و w_2 در روابط زیر صدق کنند:

$$\begin{aligned} w_1 + w_2 &= 1 \\ w_1 + a^4 w_2 &= 0 \end{aligned} \Rightarrow \begin{cases} w_1 = \frac{a^4}{a^4 - 1}, & a > 0, a \neq 1. \\ w_2 = \frac{-1}{a^4 - 1} \end{cases}$$

در نتیجه:

$$\frac{a^4}{a^4 - 1} \log(I_h(x)) + \frac{-1}{a^4 - 1} \log(I_{ah}(x)) = \log(f(x)) + \frac{a^4}{2} \frac{m^2}{f^2(x)} h^8 + \frac{a^4(a^4 + 1)}{3} \frac{m^3}{f^3(x)} h^{12} + \dots$$

اکنون با استفاده از بسط سری توابع نمایی داریم:

$$(I_h(x))^{\frac{a^4}{a^4 - 1}} (I_{ah}(x))^{\frac{-1}{a^4 - 1}} = f(x) + \frac{a^4}{2} \frac{m^2}{f(x)} h^8 + O(h^{12}).$$

با بازنویسی \tilde{f}_{ah} و \tilde{f}_h ، به ترتیب داریم:

$$\tilde{f}_h(x) = I_h(x) + Z$$

۶

$$\tilde{f}_{ah}(x) = I_{ah}(x) + W.$$

که در آن متغیرهای Z و W هر دو دارای امید ریاضی برابر صفر و واریانس آنها از مرتبه $O((nh)^{-1})$ است.

بنابراین برآوردهای هسته‌ای کاهش اربیبی برونویابی هندسی¹ (GEBRK) پیشنهادی نهایی بدین صورت است:

$$\begin{aligned} \tilde{f}_h^*(x) &= (\tilde{f}_h(x))^{\frac{a^4}{a^4 - 1}} (\tilde{f}_{ah}(x))^{\frac{-1}{a^4 - 1}} \\ &= (I_h(x))^{\frac{a^4}{a^4 - 1}} \left[1 + \frac{Z}{I_h(x)} \right]^{\frac{a^4}{a^4 - 1}} (I_{ah}(x))^{\frac{-1}{a^4 - 1}} \left[1 + \frac{W}{I_{ah}(x)} \right]^{\frac{-1}{a^4 - 1}}. \end{aligned} \quad (9)$$

حال با استفاده از بسط $(1+k)^x = 1+kx+O(k^2)$ داریم:

$$\begin{aligned} \tilde{f}_h(x) &= (I_h(x))^{\frac{a^4}{a^4 - 1}} (I_{ah}(x))^{\frac{-1}{a^4 - 1}} \left[1 + \frac{a^4}{a^4 - 1} \frac{Z}{I_h(x)} + O\left(\left(\frac{Z}{I_h(x)}\right)^2\right) \right] \\ &\quad \times \left[1 + \frac{-1}{a^4 - 1} \frac{W}{I_{ah}(x)} + O\left(\left(\frac{W}{I_{ah}(x)}\right)^2\right) \right] \\ &= (I_h(x))^{\frac{a^4}{a^4 - 1}} (I_{ah}(x))^{\frac{-1}{a^4 - 1}} + \frac{a^4}{a^4 - 1} Z \left(\frac{I_h(x)}{I_{ah}(x)} \right)^{\frac{1}{a^4 - 1}} + \frac{-1}{a^4 - 1} W \left(\frac{I_h(x)}{I_{ah}(x)} \right)^{\frac{a^4}{a^4 - 1}} + O((Z+W)^2). \end{aligned}$$

همچنین با استفاده از تعریف $I_h(x)$ داریم:

$$\frac{I_h(x)}{I_{ah}(x)} = 1 + O(h^4).$$

بنابراین

1. Geometric Extrapolation Bias Reduction Kernel

$$\begin{aligned}
Bias(\tilde{f}_h^*(x)) &= E\left(\left(\tilde{f}_h(x)\right)^{\frac{a^4}{a^4-1}}\left(\tilde{f}_{ah}(x)\right)^{\frac{-1}{a^4-1}}\right) - f(x) \\
&= E\left[\left(I_h(x)\right)^{\frac{a^4}{a^4-1}}\left(I_{ah}(x)\right)^{\frac{-1}{a^4-1}} + \frac{a^4}{a^4-1}Z\left(1+O(h^4)\right)^{\frac{1}{a^4-1}}\right. \\
&\quad \left.+ \frac{-1}{a^4-1}W\left(1+O(h^4)\right)^{\frac{a^4}{a^4-1}} + O((Z+W)^2)\right] - f(x) \\
&= f(x) + \frac{1}{2}a^4m^2h^8 + O(h^{12}) + 0 + 0 + O\left(\frac{1}{nh}\right) - f(x) = \frac{1}{2}a^4m^2h^8 + O\left(h^{12} + \frac{1}{nh}\right)
\end{aligned}$$

۶

$$\begin{aligned}
Var(\tilde{f}_h^*(x)) &= Var\left(\left(\tilde{f}_h(x)\right)^{\frac{a^4}{a^4-1}}\left(\tilde{f}_{ah}(x)\right)^{\frac{-1}{a^4-1}}\right) \\
&= E\left[\frac{a^4}{a^4-1}Z + \frac{-1}{a^4-1}W + O((Z+W)^2)\right]^2 \\
&= Var\left(\frac{a^4}{a^4-1}Z + \frac{-1}{a^4-1}W\right) + O(n^{-1}h^3 + (nh)^{-2}) = O\left(\frac{1}{nh}\right).
\end{aligned}$$

در نتیجه $MISE(\tilde{f}_h^*(x)) = O\left(h^{16} + \frac{1}{nh}\right)$ است. بنابراین به سادگی می‌توان دید که پارامتر همواری برآوردهای $\tilde{f}_h^*(x)$ از مرتبه $O(n^{\frac{-16}{17}})$ بهینه از مرتبه $O(n^{\frac{-1}{17}})$ است. همچنین MSE خواهد بود. نتایج بالا در قضیه ۲ خلاصه شده است.

قضیه ۲. فرض کنید هسته K متقارن و تمام گشتاورهای فرد آن صفر باشند و f در همسایگی x دارای مشتق مرتبه چهار باشد. همچنین فرض کنید شرایط a_5 تا a_9 برقرار باشند. در این صورت داریم:

$$\begin{aligned}
Bias(\tilde{f}_h^*(x)) &= \frac{a^4}{32}h^8(f''''(x))^2\left(\int x^2K(x)dx\right)^2 + O\left(h^{12} + \frac{1}{nh}\right), \\
Var(\tilde{f}_h^*(x)) &= O\left(\frac{1}{nh}\right).
\end{aligned}$$

در نتیجه

$$MSE(\tilde{f}_h(x)) = O\left(h^{16} + \frac{1}{nh}\right)$$

$h_{opt} = O\left(n^{\frac{-1}{17}}\right)$ با $O(n^{\frac{-16}{17}})$ بهینه از مرتبه است.

۵. پژوهش‌های شبیه‌سازی

در این بخش با استفاده از شبیه‌سازی، ابتدا مقدار بهینه برای پارامتر a را پیدا می‌کنیم، سپس به کمک شبیه‌سازی مونت‌کارلو برآوردهای حاصل را بررسی و مقایسه می‌کنیم.

۵.۱. انتخاب بهینه پارامتر a

در این بخش با استفاده از بررسی شبیه‌سازی نشان می‌دهیم که کمینه کردن $MSE(\tilde{f}_h(x))$ حاصل یک انتخاب قابل اطمینانی برای پارامتر a است. بنابراین هر مقداری از a را که MSE برآورده‌گر پیشنهادی را کمینه کند به عنوان برآورده‌گر بهینه برای کاهش اربیبی معرفی می‌کنیم. چون کمینه کردن MSE به کمک مشتق‌گیری امکان‌پذیر نیست بنابراین با استفاده از روش‌های عددی سعی می‌کنیم MSE را به حداقل برسانیم. از آن‌جاکه میزان اربیبی برابر ناحیه اشغال شده بین چگالی واقعی و چگالی برآورد شده است، با به کارگیری روش‌های عددی مانند روش مستطیلی و روش سیمپسون (بوردن و فیرز [29]) مقدار بهینه a را با کمینه کردن MSE به دست می‌آوریم. داده‌های به کار رفته در شبیه‌سازی از توزیع نرمال استاندارد تولید شده‌اند. همچنین هسته K ، برابر چگالی نرمال استاندارد در نظر گرفته شده است. با توجه به شکل ۵ مقادیر بهینه برای پارامتر a به ترتیب در دو روش مستطیلی و سیمپسون در برآورده‌گر شده است. با توجه به شکل ۵ مقادیر بهینه برای پارامتر a به ترتیب در دو روش مستطیلی و سیمپسون در برآورده‌گر BRK برابر $0.58/0.58$ و در برآورده‌گر $GEBRK$ برابر $0.61/0.60$ به دست آمد. اما از آن‌جاکه دقت روش سیمپسون بیشتر است بنابراین مقدار $0.60/0.60$ در برآورده‌گر $GEBRK$ را برای مقدار بهینه a پیشنهاد می‌دهیم. در نتیجه برآورده‌گرهای نهایی پیشنهادی بدین صورت هستند.

برآورده‌گر BRK پیشنهادی برابر با:

$$\tilde{f}_{ah}(x) = \frac{1}{0.69nh} \sum_{i=1}^n K\left(\frac{x-X_i}{0.69h}\right) - \frac{0.69h}{2n} \int s^2 K(s) dx \sum_{i=1}^n K''\left(\frac{x-X_i}{0.69h}\right) \quad (10)$$

و برآورده‌گر $GEBRK$ پیشنهادی برابر با:

$$\tilde{f}_h^*(x) = (\hat{f}_h(x))^{-0.15} (\hat{f}_{0.60h}(x))^{1.15} \quad (11)$$

است. این برآورده‌گرهای مقدار اربیبی را نسبت به برآورده‌گر $GEUK$ به طور چشم‌گیری کاهش می‌دهند.

۵.۲. بررسی شبیه‌سازی مونت کارلو

در این بخش مطالعه شبیه‌سازی برای کاهش اربیبی با استفاده از شبیه‌سازی مونت کارلو برای چهار برآورده‌گر: برآورده‌گر UK داده شده در رابطه (۱)، برآورده‌گر $GEUK$ داده شده در رابطه (۸)، برآورده‌گر BRK داده شده در رابطه (۱۰) و برآورده‌گر $GEBRK$ داده شده در رابطه (۱۱) را انجام می‌دهیم. به صورت تصادفی ۱۰۰۰ نمونه مستقل به حجم‌های ۲۰، ۵۰، ۲۰۰ و ۵۰۰ انتخاب می‌کنیم. با توجه به این‌که توزیع نرمال استاندارد حول صفر متقارن است از این‌رو، مقدار x را برابر $0, 0.5, 1, 0.5, 0, 0.5, 2, 0.5, 3, 0.5, 3, 0.5$ در نظر گرفته و برآورده‌گرهای هسته‌ای در این نقاط محاسبه و با هم مقایسه می‌شوند. همچنین نرمال استاندارد را به عنوانتابع هسته K انتخاب می‌کنیم. از آن‌جاکه هسته K متقارن است بنابراین پارامتر همواری را برای برآورده‌گر UK برابر $h = n^{-\frac{1}{5}}$ ، برای برآورده‌گرهای $GEUK$ و BRK برابر $h = n^{-\frac{1}{17}}$ و برای برآورده‌گر $GEBRK$ برابر $h = n^{-\frac{1}{9}}$ انتخاب می‌کنیم. اربیبی، واریانس و MSE برآورده‌گرهای بدین صورت برآورده می‌شوند:

$$Bias(\hat{f}) = \frac{1}{1000} \sum_{i=1}^{1000} (\hat{f}_i - f),$$

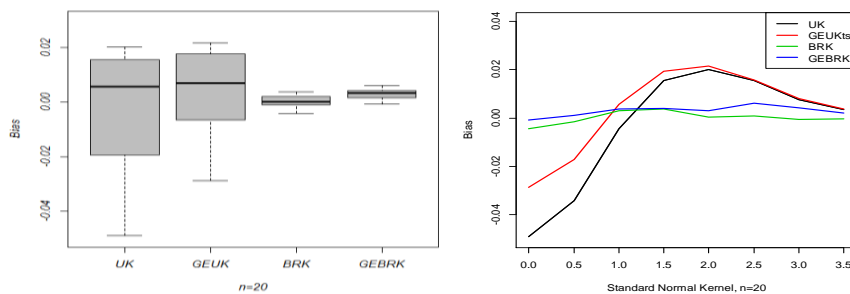
$$Var(\hat{f}) = \frac{1}{1000} \sum_{i=1}^{1000} (\hat{f}_i - \bar{\hat{f}})^2 \quad \text{with} \quad \bar{\hat{f}} = \frac{1}{1000} \sum_{i=1}^{1000} \hat{f}_i$$

$$MSE(\hat{f}) = \frac{1}{1000} \sum_{i=1}^{1000} (\hat{f}_i - f)^2$$

که f چگالی واقعی (x) و \hat{f} هر کدام از برآوردهای $(x, \hat{f}_h(x), f_h^*(x), \tilde{f}_h(x))$ است. بدون از دست دادن کلیت، فرض می‌کنیم که f برابر چگالی نرمال استاندارد است. نتایج شبیه‌سازی در جدول‌های ۱ تا ۴ و شکل‌های ۱ تا ۵ ارائه شده است. با توجه به جدول‌های ۱ تا ۴ و شکل‌های ۲ و ۳ دو برآوردهای UK و GEUK در کاهش اربیبی عملکرد مشابهی دارند. همچنین دو برآوردهای BRK و GEBRK نیز عملکرد مشابهی در کاهش اربیبی دارند. در حالی که برآوردهای BRK و GEBRK دارای اربیبی کمتری نسبت به برآوردهای UK و GEUK هستند. بهنظر می‌رسد که دو برآوردهای BRK و GEBRK نسبت به دو برآوردهای UK و GEUK تمایل MSE بزرگ‌تر دارند، البته این اتفاق برای اندازه نمونه‌های کوچک رخ می‌دهد. به طور کلی بهنظر می‌رسد که برآوردهای BRK و GEBRK در کاهش اربیبی عملکرد بهتری نسبت به دو برآوردهای دیگر داشته باشند. در شکل ۵ الف و ب به کمک روش‌های عددی مستطیلی و سیمپسون، مقدار بهینه برای پارامتر a به دست آمد.

جدول ۱. اربیبی، واریانس و MSE برآوردهای چگالی هسته‌ای مختلف با $n=20$

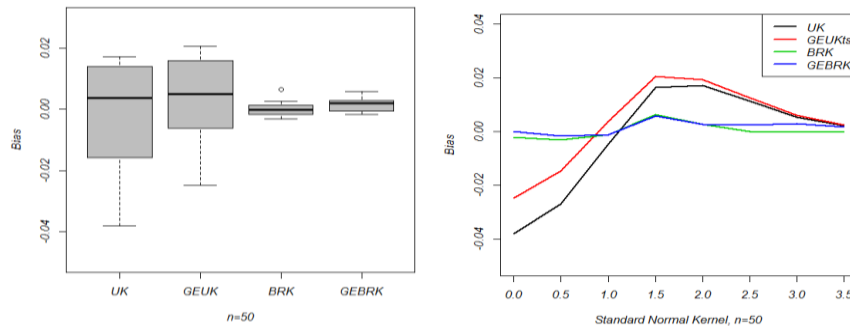
برآوردهای هسته‌ای				معیار	x
GEBRK	BRK	GEUK	UK		
-0.0008744	-0.0043145	-0.0287971	-0.0490673	Bias Variance MSE	0
0.0131361	0.0119197	0.0049240	0.0046605		
0.0131368	0.0119384	0.0057533	0.0070636		
0.0009871	-0.0014806	-0.0170679	-0.0343345	Bias Variance MSE	0.5
0.0127337	0.0115978	0.0046782	0.0044488		
0.0127347	0.0116001	0.0049695	0.0056277		
0.0037656	0.0030493	0.0057541	-0.0044515	Bias Variance MSE	1
0.0097261	0.0089766	0.0036465	0.0034274		
0.0097403	0.0089859	0.0036796	0.0034473		
0.0039859	0.0037757	0.0194854	0.0155765	Bias Variance MSE	1.5
0.0058686	0.0056479	0.0025974	0.0024670		
0.0058845	0.0056622	0.0029771	0.0027096		
0.0029150	0.0003296	0.0216026	0.0200788	Bias Variance MSE	2
0.0023339	0.0025575	0.0015503	0.0015348		
0.0023424	0.0025576	0.0020170	0.0019380		
0.0061031	0.0009452	0.0157371	0.0154379	Bias Variance MSE	2.5
0.0007744	0.0009277	0.0005984	0.0006480		
0.0008117	0.0009286	0.0008460	0.0008863		
0.0043093	-0.0006175	0.0080055	0.0076499	Bias Variance MSE	3
0.0002209	0.0002514	0.0001744	0.0001997		
0.0002394	0.0002518	0.0002385	0.0002582		
0.0021371	-0.0003987	0.0037673	0.0034971	Bias Variance MSE	3.5
0.0000609	0.0000611	0.0000519	0.0000595		
0.0000655	0.0000612	0.0000661	0.0000717		



شکل ۱. نمودار خطی و جعبه‌ای از مقادیر اربیبی برآوردهای چگالی هسته‌ای مختلف با $n=20$

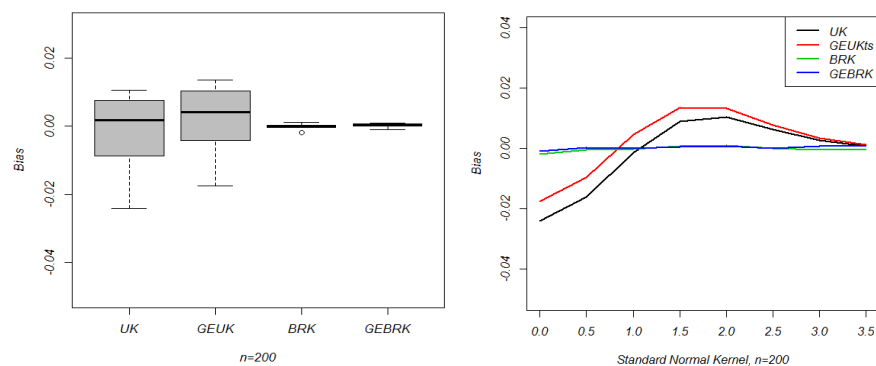
جدول ۲. اریبی، واریانس و MSE برآوردگرهای چگالی هسته‌ای مختلف با $n=50$

برآوردگرهای هسته‌ای				معیار	χ
GEBRK	BRK	GEUK	UK		
0.0001028	-0.0020778	-0.0247974	-0.0380254	Bias	0
0.0055016	0.0053727	0.0021368	0.0022895		
0.0055016	0.0053771	0.0027517	0.0037355		
-0.0017575	-0.0031931	-0.0147192	-0.0269493	Variance	0.5
0.0051192	0.0049926	0.0019592	0.0021085		
0.0051223	0.0050028	0.0021759	0.0028347		
-0.0011724	-0.0012606	0.0039369	-0.0044831	MSE	1
0.0041423	0.0040459	0.0016291	0.0017487		
0.0041437	0.0040475	0.0016446	0.0017688		
0.0058714	0.0064131	0.0205309	0.0163337	Bias	1.5
0.0027298	0.0026958	0.0012435	0.0013168		
0.0027643	0.0027369	0.0016650	0.0015836		
0.0025983	0.0026198	0.0193139	0.0172091	Variance	2
0.0011351	0.0011859	0.0006430	0.0006947		
0.0011418	0.0011928	0.0010160	0.0009094		
0.0023454	0.0000744	0.0125671	0.0114241	MSE	2.5
0.0003056	0.0003800	0.0002309	0.0002584		
0.0003111	0.0003800	0.0003888	0.0003889		
0.0030277	-0.0002167	0.0060476	0.0053992	Bias	3
0.0000884	0.0001143	0.0000726	0.0000893		
0.0000976	0.0001143	0.0001092	0.0001185		
0.0017904	-0.0000821	0.0023964	0.0020862	Variance	3.5
0.0000252	0.0000252	0.0000161	0.0000215		
0.0000284	0.0000271	0.0000218	0.0000258		

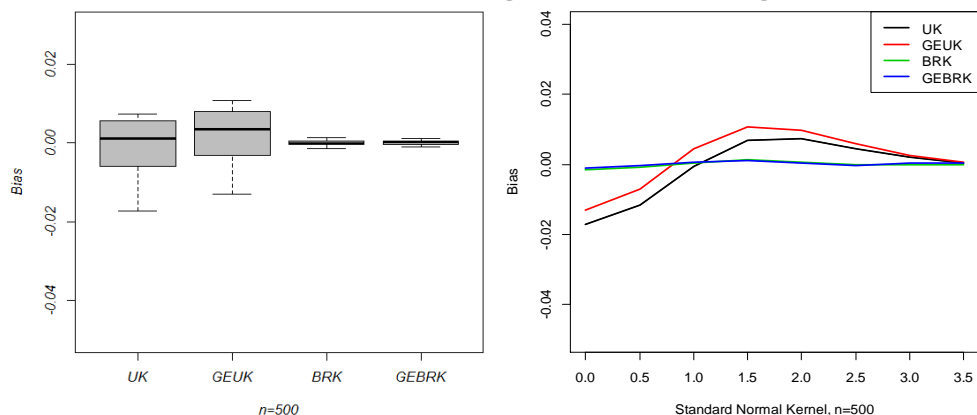
شکل ۲. نمودار خطی و جعبه‌ای از مقادیر اریبی برآوردگرهای چگالی هسته‌ای مختلف با $n=50$ جدول ۳. اریبی، واریانس و MSE برآوردگرهای چگالی هسته‌ای مختلف با $n=200$

برآوردگرهای هسته‌ای				معیار	χ
GEBRK	BRK	GEUK	UK		
-0.0010077	-0.0019429	-0.0175200	-0.0241311	Bias	0
0.0015771	0.0017283	0.0006608	0.0008785		
0.0015782	0.0017321	0.0009677	0.0014608		
0.0002561	-0.0003355	0.0096319	-0.0160644	Variance	0.5
0.0014281	0.0015437	0.0005986	0.0007851		
0.0014282	0.0015438	0.0006913	0.0010431		

-0.0000172	-0.0002388	0.0046548	-0.0014281	Bias	1
0.0010852	0.0011776	0.0004703	0.0006081	Variance	
0.0010852	0.0011777	0.0004919	0.0006103	MSE	
0.0004057	0.0006546	0.0135346	0.0088776	Bias	1.5
0.0007316	0.0007654	0.0003729	0.0004531	Variance	
0.0007318	0.0007658	0.0005561	0.0005319	MSE	
0.0006592	0.0010200	0.0131997	0.0104526	Bias	2
0.0003131	0.0003292	0.0001803	0.0002141	Variance	
0.0003135	0.0003303	0.0003545	0.0003233	MSE	
-0.0000297	-0.0000465	0.0076281	0.0062307	Bias	2.5
0.0001076	0.0001196	0.0000621	0.0000812	Variance	
0.0001076	0.0001196	0.0001203	0.0001201	MSE	
0.0007227	-0.0003725	0.0034179	0.0026957	Bias	3
0.0000223	0.0000297	0.0000153	0.0000213	Variance	
0.0000229	0.0000299	0.0000270	0.0000286	MSE	
0.0008959	-0.0002176	0.0011451	0.0008463	Bias	3.5
0.0000059	0.0000063	0.0000031	0.0000047	Variance	
0.0000067	0.0000063	0.0000044	0.0000054	MSE	



شکل ۳. نمودار خطی و جعبه‌ای از مقادیر اریبی برآوردگرهای چگالی هسته‌ای مختلف با $n=200$

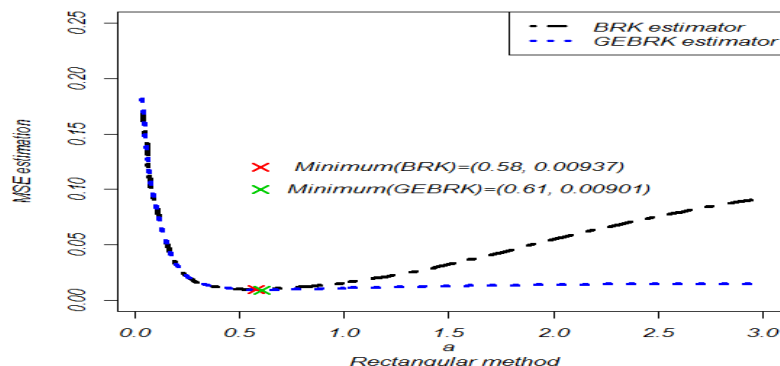


شکل ۴. نمودار خطی و جعبه‌ای از مقادیر اریبی برآوردگرهای چگالی هسته‌ای مختلف با $n=500$

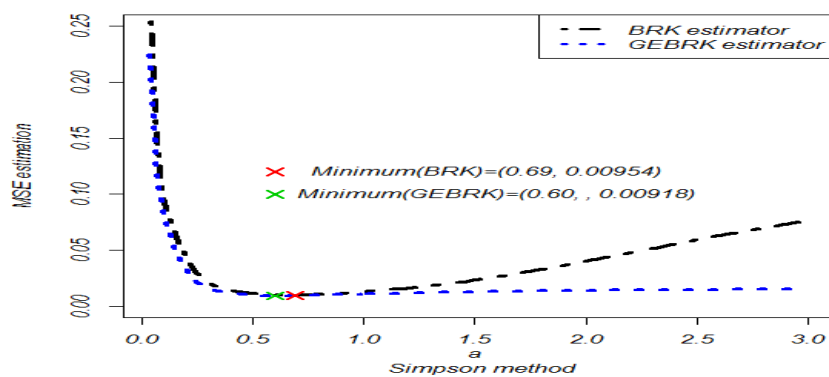
جدول ۴. اریبی، واریانس و MSE برآوردگرهای چگالی هسته‌ای مختلف با $n=500$

برآوردگرهای هسته‌ای				معیار	χ
GEBRK	BRK	GEUK	UK		
-0.0010009	-0.0015517	-0.0130368	-0.0172833	Bias	*
0.0006946	0.0008075	0.0003160	0.0004708	Variance	
0.0006956	0.0008099	0.0004860	0.0007695	MSE	

				Bias	γ, δ
				Variance	
				MSE	
-0.0003381	-0.0007380	-0.0069776	-0.0115680	Bias	γ, δ
0.0006499	0.0007498	0.0003018	0.0004404	Variance	
0.0006500	0.0007504	0.0003505	0.0005742	MSE	
0.0006237	0.0003521	0.0043709	-0.0006894	Bias	γ
0.0004385	0.0005043	0.0002077	0.0002974	Variance	
0.0004389	0.0005044	0.0002268	0.0002977	MSE	
0.0010621	0.0012794	0.0106814	0.0068941	Bias	γ, δ
0.0003019	0.0003365	0.0001648	0.0002179	Variance	
0.0003031	0.0003381	0.0002790	0.0002654	MSE	
0.0003591	0.0006728	0.0098648	0.0073176	Bias	γ
0.0001351	0.0001512	0.0000770	0.0001025	Variance	
0.0001353	0.0001517	0.0001743	0.0001560	MSE	
-0.0002716	-0.0001899	0.0058700	0.0043550	Bias	γ, δ
0.0000448	0.0000489	0.0000252	0.0000347	Variance	
0.0000449	0.0000490	0.0000597	0.0000537	MSE	
0.0003488	-0.0000117	0.0025127	0.0019690	Bias	γ
0.0000118	0.0000139	0.0000063	0.0000101	Variance	
0.0000120	0.0000139	0.0000127	0.0000139	MSE	
0.0003943	-0.0002014	0.0006978	0.0004636	Bias	γ, δ
0.0000019	0.0000024	0.0000009	0.0000017	Variance	
0.0000020	0.0000024	0.0000014	0.0000019	MSE	



شکل ۵. آ) نمودار برآورد MSE به عنوان تابعی از پارامتر a با استفاده از روش مستطیلی.

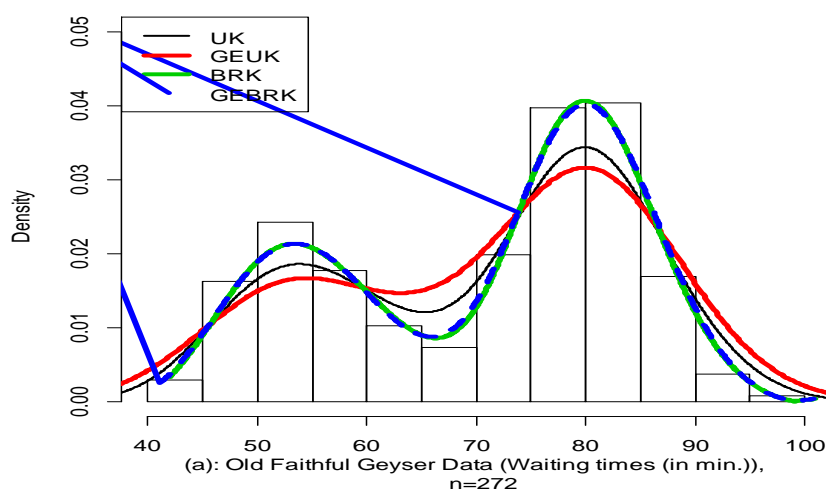


شکل ۵. ب) نمودار برآورد MSE به عنوان تابعی از پارامتر a با استفاده از روش سیمپسون

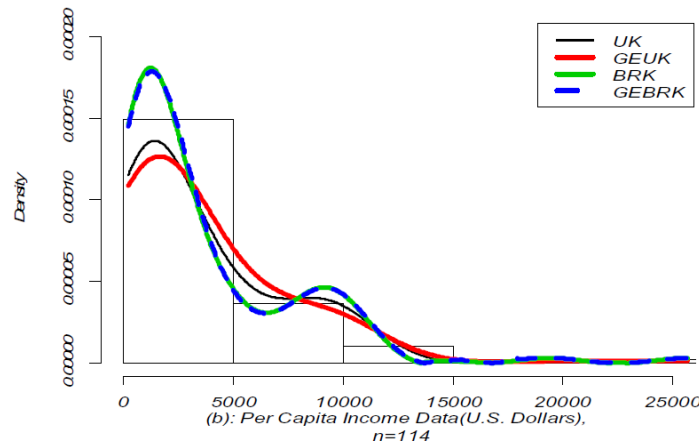
۶. داده‌های واقعی

در این بخش سه مجموعه از داده‌های واقعی را در نظر گرفته و به کمک برآوردهای ارائه شده، تابع چگالی احتمال این داده‌ها را برآورد می‌کنیم. مجموعه اول شامل ۲۷۲ داده مربوط به چشمۀ آب گرم است که فارل و آزالینی و باومن ذکر کرده‌اند [17]، [30]. دومین مجموعه شامل ۱۱۴ مقدار درآمد سرانه واقعی است که رومر بیان کرده است

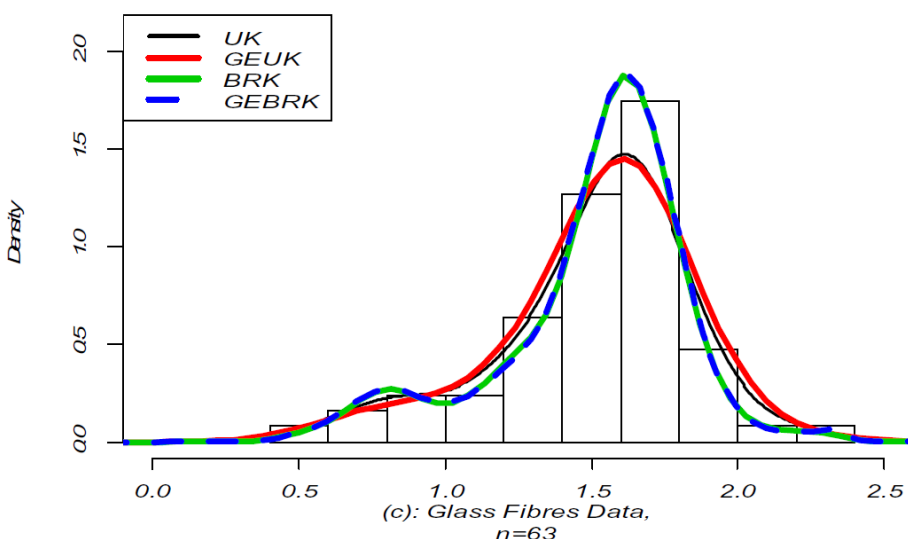
[31]. سومین مجموعه شامل ۶۳ مقدار اندازه‌گیری شده در یک آزمایشگاه فیزیک در شهر لندن در باره مقاومت الیاف شیشه‌های ۱/۵ سانتی‌متری است که یعقوبزاده و شادرخ بیان کرده‌اند [32]. داده‌های چشمۀ آب گرم برای دو متغیر زمان انتظار بین فوران‌ها و مدت زمان فوران بر حسب دقیقه در پارک ملی یلوستون اندازه‌گیری شده‌اند. بر اساس چهار برآوردهای UK، GEUK، BRK و GEBRK چگالی زمان انتظار فوران بعدی را بر اساس این داده‌ها برآورد می‌کنیم. نتایج در شکل ۶ نشان داده شده است. چنان‌چه از شکل ۶ الف ملاحظه می‌شود دو روش UK و GEUK مشابه هم عمل می‌کنند در حالی که دو روش BRK و GEBRK نیز مشابه هم و نسبت به دو روش قبلی دقت بیش‌تر و اریبی کم‌تری دارند. به طور مشابه نتایج دو مجموعه داده دیگر نیز در شکل ۶ ب و ج آمده است.



شکل ۶. آ) نمودار بافت‌نگار داده‌های واقعی چشمۀ آب گرم و چگالی‌های برازش داده شده



شکل ۶. ب) نمودار بافت‌نگار داده‌های واقعی درآمد سرانه واقعی و چگالی‌های برازش داده شده



شکل ۶. پ) نمودار بافت‌نگار داده‌های واقعی مقاومت الیاف شیشه و چگالی‌های برازش داده شده

۷. نتایج

هدف اصلی این مقاله بهبود کاهش اریبی برآوردهای چگالی هسته‌ای جدید است. در بخش ۲ برآوردهای چگالی متداول معرفی شد که اریبی آن از مرتبه $O(n^{-\frac{4}{5}})$ و MSE بهینه از مرتبه $O(h^3)$ است. در بخش ۳ برآوردهای چگالی هسته‌ای کاهش اریبی را پیشنهاد دادیم که اریبی آن از مرتبه $O(h^4)$ و MSE بهینه از مرتبه $O(n^{-\frac{8}{9}})$ است. در بخش ۴ نخست برآوردهای چگالی می‌شود که ترل و اسکات ارائه کردند [28]. متذکر شدیم که اریبی آن از مرتبه $O(h^4)$ و MSE بهینه از مرتبه $O(n^{-\frac{8}{9}})$ است سپس برآوردهای چگالی می‌شود که اریبی از مرتبه $O(n^{-\frac{16}{17}})$ است. بهنظر می‌رسد که برآوردهای BRK نسبت به برآوردهای GEUK اریبی را بهبود نمی‌بخشد. اما نتایج جدول‌های ۱ تا ۴ و شکل‌های ۱ تا ۴ نشان می‌دهد که اریبی بهینه شده در برآوردهای BRK نسبت به برآوردهای GEUK و UK کمتر است. در حالی که برآوردهای GEBRK نسبت به برآوردهای GEUK دارای نرخ همگرایی سریع‌تری در اریبی و MSE است. بهطور کلی نتایج جدول‌های ۱ تا ۴ و شکل‌های ۱ تا ۴ و ۶ نشان می‌دهند که دو برآوردهای BRK و GEBRK نسبت به برآوردهای UK و GEUK دقیق‌تری دارند و در کاهش اریبی مؤثر بوده‌اند.

تقدیر و تشکر

از زحمات سردبیر و هم‌چنین داوران محترم مجله که نظرات ارزند آنها موجب بهبود مقاله شد، تشکر و قدردانی می‌کنیم.

منابع

- Rosenblatt M., "Remarks on some nonparametric estimates of a density function", Ann. Math. Stat., 27(3) (1956) 832-837.

2. Scott D. W., "Density estimation theory, practice and visualization", first ed., Wiley, USA (1992).
3. Silverman B. W., "Density estimation for statistics and data analysis", first ed., Chapman and Hall, USA (1986).
4. Hardle W., "Smoothing Techniques: with Implementation in S", Springer-Verlag Newyork, (1991).
5. Hwang J.-N, Lay S.-R., Lippman A., "Nonparametric multivariate density estimation: a comparative", (1994).
6. Joyner T. A., Rohli R., "Kernel density estimation of tropical cyclone frequencies in the North Atlantic basin", Int. J. Geosci., 1(3) (2010) 121-129.
7. Hurter C., Ersoy O., Telea A., "Graph bundling by kernel density estimation", Comp. Graph. Forum, 31(3) (2012) 865-874.
8. Joshi N., Brady M., "Simplified computations for nonparametric windows method for probability density function estimation", IEEE Trans. Pattern Anal. Mach. Intell., 33 (8) (2011) 1673-1680.
9. Cai Q., Rushton G., Bhaduri B., "Tests of an improved kernel density estimation method for identifying disease clusters", J. Geograph. Syst., 14(3) (2011) 243-264.
10. Faucher D., Rasmussen P. F., Bobee B., "Distribution based bandwidth selection method for kernel quantile estimation", J. Hydrol., 250 (1-4) (2001) 1-11.
11. Bors A. G., Nasios N., "Kernel bandwidth estimation for nonparametric modeling", IEEE Trans. Syst., Man, Cybernet.-Part B: Cybernet., 39(6) (2009) 1543-1555.
12. Shimazaki H., Shinomoto S., "Kernel bandwidth optimization in spike rate estimation", J. Comput. Neurosci., 29(1-2) (2010) 171-182.
13. Wang H., Mirota D., Hager G.D., "A generalized Kernel consensusbased robust estimator", IEEE Trans. Pattern Anal. Mach. Intell., 32(1) (2010) 178-184.
14. Baxter M. J., Beardah C. C., Wright R. V. S., "Some archaeological applications of kernel density estimates", J. Archaeol. Appl. Kernel Density Est., 24 (4) (1997) 347-354.
15. Chen T.-B., Lu H. H.-S, Lee Y.-S, Lan H.-J., "Segmentation of cDNA microarray images by kernel density estimation", J. Biomed. Inform. 41(6) (2008) 1021-1027.
16. Parzen E., "On estimation of a probability density function and mode", Ann. Math. Stat., 33(3) (1962) 1065-1076.
17. Farrell R. H., "On the best obtainable asymptotic rates of convergence in estimation of a density function at a point", The Annals of Mathematics and Statistics, 43 (1972) 170-180.

18. Samiuddin M., El-Sayyad G. M., "On nonparametric kernel density estimates", *Biometrika*, 77 (1990) 865-874.
19. El-Sayyad G. M., Samiuddin M., Abdel-Ghaly A. A., "A new kernel density estimate", *Journal of Nonparametric Statistics*, 3 (1992) 1-11.
20. Marron J. S., Ruppert D., "Transformations to reduce boundary bias in kernel density estimation", *Journal of the Royal Statistical Society: Series B*, 4 (1992) 653-671.
21. Kim C., Kim W., Park B. U., "Skewing and generalized jackknifing in kernel density estimation", *Communications in Statistics: Theory and Methods*, 32 (2003) 2153-2162.
22. Mynbaev K., Martins-Filho, C., "Bias reduction in kernel density estimation via Lipschitz Condition", *Journal of Nonparametric Statistics*, 22 (2010) 219-235.
23. Kairat T. Mynbaev, Saralees Nadarajah, Christopher S. Withers, Aziza S. Aipenova, "Improving bias in kernel density estimation", *Statistics and Probability Letters*, 94 (2014) 106-112.
24. Kim J., Kim C., "Reducing the mean squared error in kernel density estimation", *Journal of the Korean Statistical Society*, 42 (2013) 387-397.
25. Igarashi G., Kakizawa Y., "Bias corrections for some asymmetric kernel estimators", *Journal of Statistical Planning and Inference*, 159 (2015) 37-63.
26. Xiaoran X., Jingjing W., "Some Improvement on Convergence Rates of Kernel Density Estimator", *Applied Mathematics*, 5 (2014) 1684-1696.
27. Wand M. P., Jones M. C., "Kernel smoothing", Chapman Hall, London, (1995).
28. Terrell G. R., Scott D. W., "On improving convergence rates for nonnegative kernel density estimators", *The Annals of Statistics*, 8 (1980) 1160-1163.
29. Burden, Richard L., Faires, J. Douglas, "Numerical analysis", 9th ed., Brooks/Cole, (2010).
30. Azzalini A., Bowman A. W., "A look at some data on the Old Faithful geyser", *Applied Statistics*, 39 (1990) 357-365.
31. Romer D., "Openness and ination: theory and evidence", *Quart. J. Econ.*, 108 (1993) 869-903.

۳۲. یعقوبزاده شهرستان ش.، شادرخ ع.، "مقایسه دو زیر مجموعه از خانواده توزیع‌های بتا- G با دو زیر مجموعه از خانواده توزیع‌های زگرافوس-بالاکریشنان- G به کمک روش شبیه‌سازی مونت‌کارلو"، مدل‌سازی پیشرفته ریاضی، دوره ۶، شماره ۱ .۵۹-۴۱ (۱۳۹۵)